

経験的グリーン関数法を用いた 2016年鳥取県中部の地震の震源のモデル化

池田 隆明¹・染井 一寛²・倉橋 奨³・宮腰 研⁴・釜江 克宏⁵
高瀬 裕也⁶・小島 由記子⁷

¹正会員 長岡技術科学大学教授 (〒940-2188 新潟県長岡市上富岡町1603-1)

E-mail: ikeda@vos.nagaokaut.ac.jp

²地域地盤環境研究所研究員 (〒540-0008 大阪府大阪市中央区大手前2-1-2)

E-mail: somei@geor.or.jp

³正会員 愛知工業大学講師 (〒470-0392 愛知県豊田市八草町八千草1247)

E-mail: susumu@aitech.ac.jp

⁴地域地盤環境研究所グループリーダー (〒540-0008 大阪府大阪市中央区大手前2-1-2)

E-mail: ken@geor.or.jp

⁵京都大学教授 (〒590-0494 大阪府泉南郡熊取町朝代西2丁目)

E-mail: kamae@rri.kyoto-u.ac.jp

⁶正会員 室蘭工業大学准教授 (〒050-8585 北海道室蘭市水元町 27-1)

E-mail: y.takase@mrm.muroran-it.ac.jp

⁷正会員 長岡工業高等専門学校助教 (〒940-8532 新潟県長岡市西片貝町888番地)

E-mail: y_kojima@nagaoka-ct.ac.jp

2016年10月21日に鳥取県中部でMj6.6の地震が発生した。震源深さは約11kmと浅く震源近傍では強い地震動が生じたと考えられる。この地震は従来活断層が確認されていなかった場所で発生したものであり、強震動予測においては「震源を事前に特定できない地震」のタイプに分類される。我が国にはこのようなタイプの地震が発生する可能性が高く、震源のモデル化を含めた強震動予測技術の精度の向上が求められる。そこで、経験的グリーン関数法を用いたフォワードモデリングにより鳥取県中部の地震の震源モデルを構築し、既往のスケーリング則の適用性について検討を行った。

Key Words : the Central Tottori prefecture earthquake, empirical Green's function method, source model, strong motion generation area, blind faults in the upper crustal, scaling law

1. はじめに

2016年10月21日14時07分頃、鳥取県中部を震源とするMj6.6の地震が発生した（以後、本地震、もしくは鳥取県中部の地震と言う）。震源深さは約11kmと浅いため震源近傍では強い地震動が生成されたと考えられ、鳥取県内では震度6弱を観測した倉吉市、東伯郡湯梨浜町、同郡北栄町を中心に全壊18棟を含む15,367棟の住家被害が発生した。また、震源近傍を中心に河川、道路、橋梁等の土木施設・構造物にも複数の被害が発生した¹⁾。

余震分布およびメカニズム解^{2),3)}、干渉SARによる地殻変動の分布パターン⁴⁾より震源断層は北北西—南南東方向に延びる高角の左横ずれ型と考えられる。

本地震の震源の東側には1943年鳥取地震 (Mj7.2) の震源断層と考えられる鹿野—吉岡断層や岩坪断層、南東

側には山崎断層帯の西端を構成する那岐山断層帯が確認されているが、震源近傍に明瞭な活断層は確認されていない。

1983年に本地震の震源の東側でMj6.2の地震が発生している。この地震は1943年鳥取地震を引き起こしたと考えられる鹿野—吉岡断層の西端で発生しており、余震分布等から震源断層は鹿野—吉岡断層の走向に共役な北北西—南南東に走向を有する左横ずれ型⁵⁾と想定されている。また本地震の震源域から西側に50km程度離れた地域では2000年鳥取県西部地震が発生している。この地震も本地震および前述の地震と同じく北北西—南南東に走向を有する左横ずれ型である。地震規模はMj7.3と1995年兵庫県南部地震や2016年熊本地震（4月16日1時25分頃に発生した地震）と同じで、内陸地殻内地震としては規模が大きい地震であったが、本地震と同様に明瞭な活断

層が確認されていない場所で発生したと考えられている。

将来発生する地震被害の軽減を目的に、強震動予測の高度化に関する研究が精力的に進められている⁹⁾。震源を事前に特定できない地震の地震動の上限レベルについては加藤・他⁷⁾が地質学的調査による地震の分類と強震観測記録に基づき明らかにしているが、本地震および2000年鳥取県西部地震の発生を考えると、「震源を事前に特定できない地震」に対して、既往の強震動予測手法の適用性を検討することは重要と考えられる。

そこで本稿では、2016年鳥取県中部の地震の震源モデルを経験的グリーン関数法⁸⁾を用いたフォワードモデリング⁹⁾により構築し、震源モデルの震源特性について既往のスケーリング則¹⁰⁾への適用性について検討を行う。

2. 地震の概要

表-1に2016年鳥取県中部の地震に概要、図-1に本震および本震後48時間以内に発生した余震の震央分布を示す。本震についてはF-net¹⁰⁾のメカニズム解も併せて示す。余震の震央は北北西—南南東方向に分布していることがわかる。図中には1983年10月31日に発生したMj6.2の地震の震央と本震後3ヶ月間に発生した余震の震央分布を示す。Mj6.2の地震の余震分布は本地震の余震分布と同じく北北西—南南東方向に分布していることがわかる。

3. 震源近傍の地震動とその特徴

本震時における震源近傍を含む広域の地震動記録が防災科学技術研究所の強震観測網（K-NET, KiK-net）¹¹⁾、気象庁¹²⁾、地方公共団体¹³⁾の地震計で得られている。図-2に本地震の震央位置と周辺の地震観測地点を示す。

震源近傍の鳥取県の三朝町観測点（81022）と北栄町観測点（81024），気象庁の倉吉観測点（CE4），K-NET上斎原（OKY015）で観測された地震動の加速度および速度波形を図-3に示す。速度波形は加速度波形に0.1Hz～10.0Hzのバンドパスフィルターを作成させた後，フーリエ積分により算出した。図-3の時間軸の0秒は14時07分10秒である。

81024地点とOKY015は断層の走向方向位置する観測地点である。破壊開始点からの距離はほぼ同じであるが、観測された地震動には大きな差異が見られる。破壊開始点の北側に位置する81024地点の波形にはパルス状の波形が見られるのに対して、南側に位置するOKY015の波形にはパルス状の波形は見られない。また、81024地点の継続時間が約6秒であるのに対して、OKY015の継続時間は明瞭に長い。この結果は破壊開始点から始まつた震

源破壊が北側に進行したことを示唆するものと考えられ、81024地点で見られたパルス状の波形は震源破壊の指向性効果によるものと考えられる。81022地点とCE4地点は走向直交方向に位置する震源近傍の観測地点である。速度波形の前半部にはパルス状の波形が見られる。

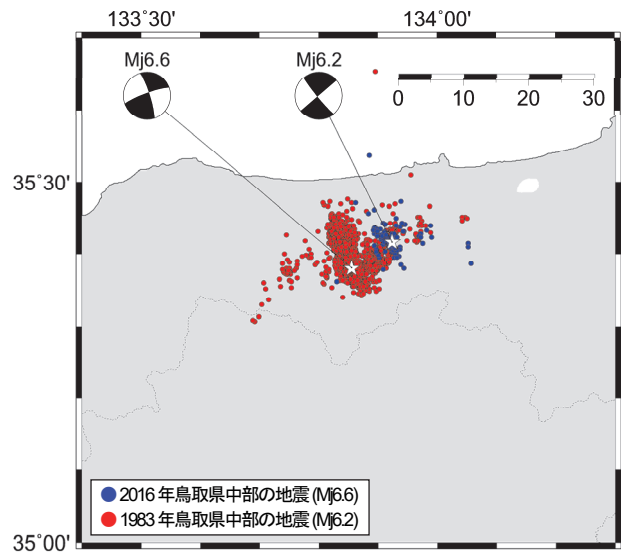


図-1 2016年鳥取県中部の地震の震央と余震の震央分布(48時間以内), および1983年10月31日に発生したMj6.2の地震の震央と余震の震央分布(3ヶ月以内)

表-1 2016年鳥取県中部の地震の概要

発生日時	2016年10月21日14時07分22.5秒
震央	35°22.83'N 133°51.37'E
深さ	10.61km
マグニチュード	Mj6.6, Mw6.2 ¹⁰⁾
地震モーメント ¹⁰⁾	2.24×10^{18} Nm
STR/DIP/RAK ¹⁰⁾	342;250/80;81/9;170

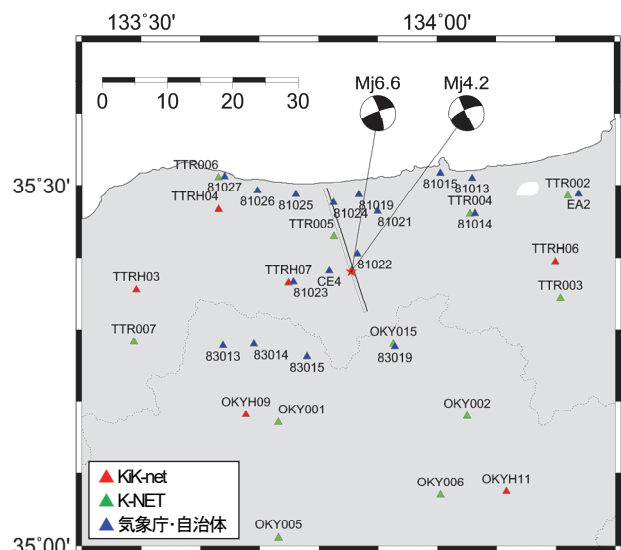


図-2 2016年鳥取県中部の地震の震央と想定断層面、経験的グリーン関数イベントに用いた要素地震の震央、および震源周辺の地震観測地点

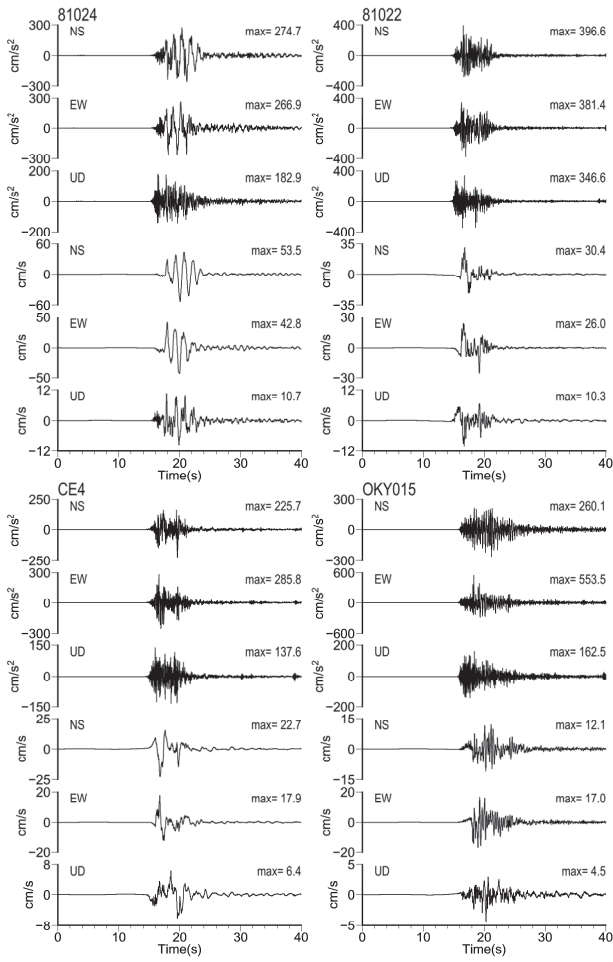


図-3 震源近傍の地震観測地点で観測された2016年鳥取県中部の地震の時刻歴波形

4. 震源の破壊過程

2016年鳥取県中部の地震の震源破壊過程が複数の研究者により報告されている。ここでは、周辺のK-NET, KiK-netにより得られた近地強震記録を用いた波形インバージョンに基づく久保・他¹⁴⁾, 小林・他¹⁵⁾の結果について比較する。

図-4に二つの研究で得られた最終すべり量分布を比較して示す。久保・他の方が最大すべり量が発生した深さが浅いという違いはあるが、双方とも破壊開始点から深い領域にかけて大きなすべりが得られている。また、震源近傍のすべり量が大きい領域の北側にもすべり量が大きい領域が得られている等、共通した結果が得られている。

破壊開始点の北側に大きなすべり領域が見られることから破壊は北側に進行したと考えられ、この結果は図-3に示す震源近傍域における観測記録と整合している。

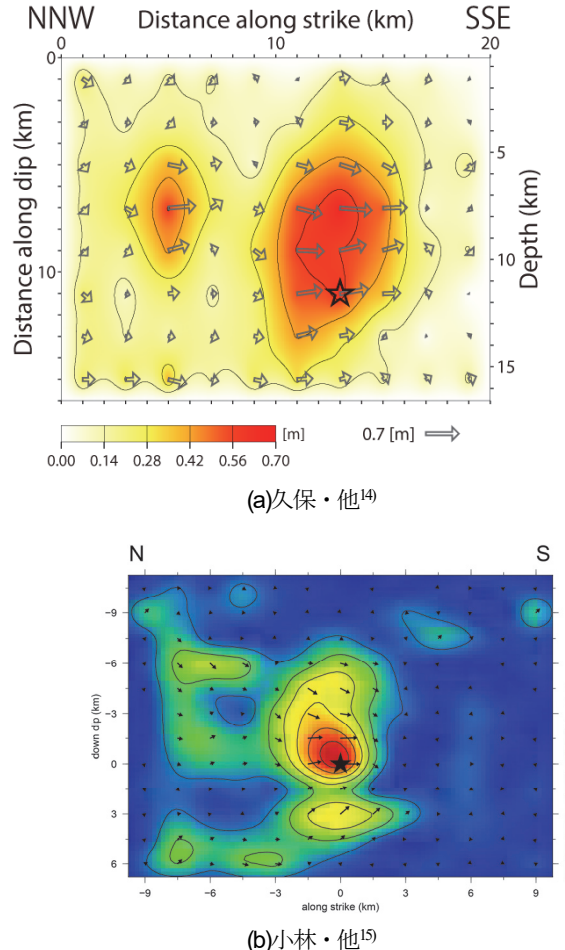


図-4 波形インバージョン解析による2016年鳥取県中部の地震の最終すべり分布の比較。

5. 震源のモデル化

(1) 概要

2016年鳥取県中部の地震に対して釜江・入倉のモデル化手法⁹⁾に従い、経験的グリーン関数法⁸⁾によるフォワードモデリング手法を用いて震源のモデル化を行う。この方法は、波形インバージョン結果を参考に断層面上のすべり量の大きい場所に強震動生成域（Strong Motion Generation Area, 以後SMGAと言ふ）を配置し、合成地震動と観測地震動との一致度からSMGAの位置、サイズ、応力降下量などのパラメータを定量化するものである。SMGAの形状を矩形とし、すべり量も均一な単純なモデル化ながら、M7クラスの国内外で発生した内陸地殻内地震の不均一震源モデルに適用され、有効性が確認されている¹⁶⁾。断層面のSMGA以外の領域（背景領域）からも地震動を生成するが、震源近傍域の強震動への寄与度が低いことから¹⁶⁾、本検討では強震動はSMGAのみから生成されると考え背景領域は考慮しない。

合成地震動との比較にはKiK-net構口（TTRH03）,

KiK-net河原 (TTRH06), KiK-net関金 (TTRH07), KiK-net勝央 (OKYH11), K-NET倉吉 (TTR005), K-NET上斎原 (OKY015) の6地点の観測記録を使用した。KiK-netの観測記録は地中観測記録とした。

K-NETの観測記録は地表に地震計が設置されているため、強震時に表層地盤の非線形特性を含むサイト特性の影響を受ける。経験的グリーン関数法は地盤の非線形性を直接考慮できないことから、合成地震動は観測地震動に比べ振幅を大きめに評価し、かつ短周期成分が卓越することが知られている。そのため、K-NETの観測地点を対象に強震動評価を行う際にはこれらの影響を考慮する必要があるが、本検討では震源ごく近傍地点の強震動の継続時間の評価を目的にTTR005とOKY015の観測記録を使用することから、非線形を含むサイト特性の考慮は行わない。**図-2**に各観測地点の位置を示す。

(2) 断層面の設定

震源破壊過程を引用した久保・他、小林・他の研究ではF-netのメカニズム解を参考に走向162度、傾斜88度の西傾斜の断層面を設定している。そこで本検討でも余震の震源分布、F-netのメカニズム解を参考に同様の断層面を設定した。具体的には、断層面基準点が35.4959N, 133.8135E、走向162度、傾斜88度の西傾斜の断層面を設定した。**図-2**に設定した断層面を示す。断層面のサイズは20km×15kmとしているが、本検討ではSMGA以外の背景領域からの地震動生成を考慮していないため、断層面の大きさは震源のモデル化に影響を与えない。

(3) 経験的グリーン関数に用いる小地震の選定と震源パラメータの設定

経験的グリーン関数法は、地震動を予測する大地震と経験的グリーン関数として用いる小地震の地震の相似則と震源スペクトルの相似則に基づき、大地震の地震動を経験的グリーン関数の線形な重ね合わせで表現する。そのため、経験的グリーン関数法の精度は経験的グリーン関数として用いる小地震の選定、および小地震の震源パラメータの設定精度にも大きく依存する。

図-5に想定断層面が含まれる北緯35度18分～35度30分、東経133度48分～133度57.5分の範囲に震央を有した地震のうち、Mj3.5～Mj4.5の範囲にあり、合成地震動との比較に用いる6地点での地震動記録およびF-netのメカニズム解が得られている24地震の震源分布を示す。**図-5**に示すようにEQ10は本地震の破壊開始点とほぼ同じ位置に震央を有し、震源深さもほぼ同じである。そのためEQ10の地震動を経験的グリーン関数として使用する。以降、EQ10を要素地震と呼ぶ。**表-2**に要素地震の諸元を示す。要素地震は本地震が発生する直前に発生した地震であり、メカニズム解もほぼ同じである。

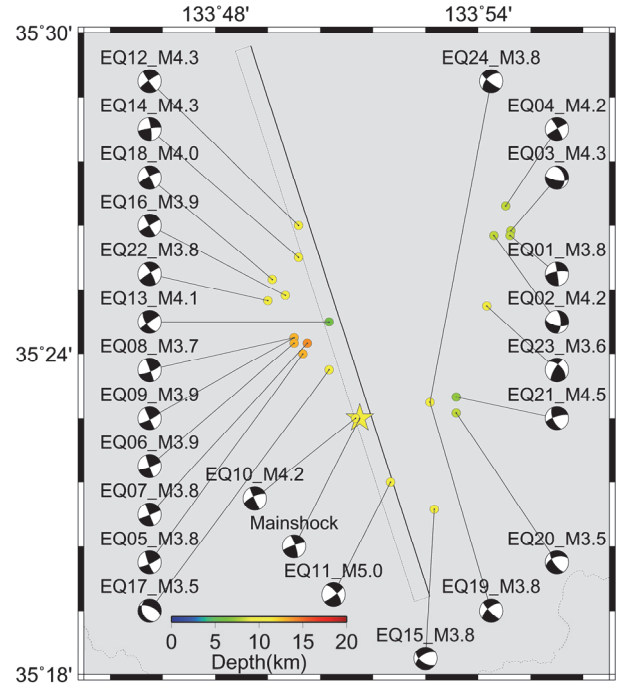


図-5 2016年鳥取県中部の地震の震源近傍で発生した地震のうち、F-netのメカニズム解が得られている地震の震源分布

要素地震の面積および応力降下量は三宅・他¹⁷⁾による Source spectral ratio fitting methodを用いて要素地震のコーナー振動数を求め、Bruneの式^{18), 19)}と円形クラックの式²⁰⁾からそれぞれ評価した。Source spectral ratio fitting methodは同一地点で観測された大地震動と小地震動の観測震源スペクトル比に式(1)で示されるBruneの ω^2 スペクトルに基づく大地震と小地震の震源スペクトル比関数^{18), 19)}をフィッティングさせ、波形合成の重ね合わせ数Nと大地震と小地震の応力降下量の比Cを評価する方法である。

$$SSRF(f) = \frac{M_0}{m_0} \frac{1 + \left(\frac{f}{f_{ca}}\right)^2}{1 + \left(\frac{f}{f_{cm}}\right)^2} \quad (1)$$

SSRF(f)が震源スペクトル比関数、 M_0 と m_0 は大地震と小地震の地震モーメント、 f_{ca} と f_{cm} は大地震と小地震のコーナー振動数である。

本検討では大地震に本地震を、小地震に要素地震を適用し、要素地震のコーナー振動数を評価する。観測地震動は長周期側の精度を確保するため広帯域地震計で得られた3成分の速度波形とし、震源を囲むようにSAG（西郷）、YSI（吉田）、NRW（成羽）、YZK（山崎）、ISI（徳島）の5地点を選定した。**図-6**に各観測地点の位置を示す。

表-2 経験的グリーン関数として用いる地震の諸元

発生日時	2016年10月21日12時12分23.02秒
震央	35°22.84'N 133°51.29'E
深さ	10.26km
マグニチュード	Mj4.2, Mw4.1 ¹⁰⁾
地震モーメント ¹⁰⁾	1.81×10^{15} Nm
STR/DIP/RAK ¹⁰⁾	246; 155/72; 87/-177;-18
コーナー振動数	1.87Hz
応力降下量	2.34MPa
面積	1.44km ²

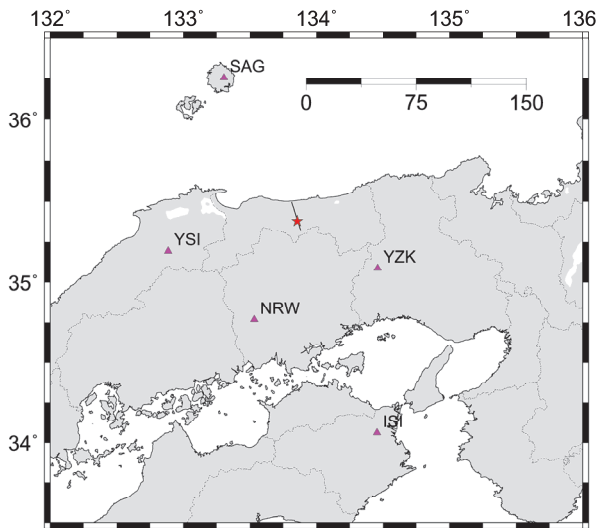


図-6 要素地震のパラメータ評価に用いる観測震源スペクトル比を求める広帯域地震計の地震観測地点

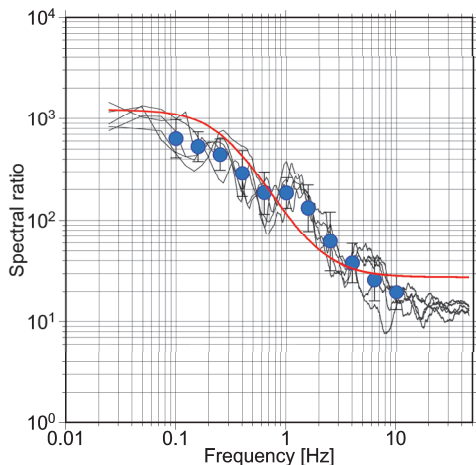


図-7 観測震源スペクトル比と震源スペクトル比関数とのフィッティング状況

時間領域の解析区間はS波部分とし、観測震源スペクトル比を計算する前に中心振動数の20%の幅の平滑化を行っている。また、伝播経路の補正是幾何減衰と媒質のQ値 ($Q=131f^{0.67}$)²⁰⁾による減衰を考慮した。またフィッティング範囲は0.1Hz～10.0Hzとし、本地震と要素地震の

地震モーメントはF-netの値を使用した。

図-7に観測震源スペクトル比と震源スペクトル比関数とのフィッティング状況を示す。要素地震のコーナー振動数は1.87Hzと評価した。表-2にコーナー振動数から算出した要素地震の応力降下量と面積を示す。

(4) 震源のモデル化

波形インバージョンの結果を参考に、震源周辺のすべり量の大きい場所にSMGAを配置した初期モデルを作成し、経験的グリーン関数法による合成地震動と観測地震動との一致度を目視で判断しSMGAの数、位置、大きさ、破壊開始点を変更する。最終的には式(2)に示す残差Rが最小になるようにそれらを決定する。Obsは観測時刻歴波形、Synは合成時刻歴波形とし、時刻歴波形には1.0Hzのローパスフィルターを作用させた変位波形を使用した。

$$R = \frac{\sum_t (Obs - Syn)^2}{\left\{ \sum_t Obs^2 \cdot \sum_t Syn^2 \right\}^{0.5}} \quad (2)$$

図-8に設定した震源モデルを示す。SMGAは震源の周辺とその北側に2つ設置した。波形インバージョンでは震源の周辺に大きなすべり量が見られたため、初期モデルとして一つのSMGAを震源の周辺に設置し良い結果を得た。しかし、震源に最も近いTTR005では主要動の前半部しか波形が再現できなかつたため、震源北側に見られたすべり量の大きい範囲に小さいSMGAを追加配置した。震源近傍のSMGAをSMGA1、震源北側のSMGAをSMGA2とする。SMGAの破壊はSMGA1の下方の破壊開始点から同心円状に伝播し、破壊がSMGA2に達した際に再びSMGA2が同心円状に破壊するとした。表-3に強

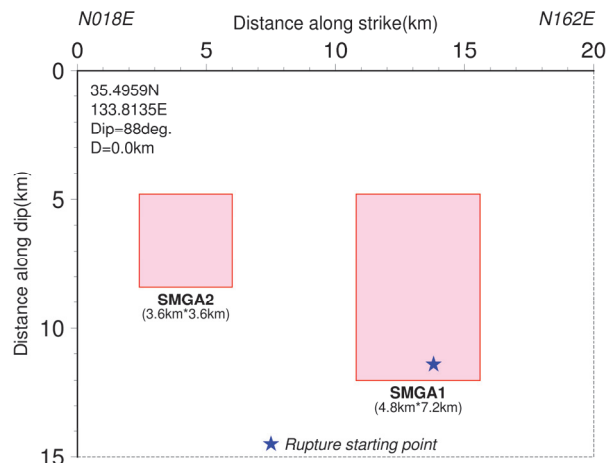


図-8 経験的グリーン関数法を用いたフォワードモデリングにより評価した震源モデル

表-3 震源モデルの強震動生成域の諸元

		SMGA1	SMGA2
面積	km ²	34.56 (4.8km×7.2km)	12.96 (3.6km×3.6km)
重ね合わせ数		4×6×4.9	3×3×3.0
地震モーメント	Nm	1.06×10^{18}	2.44×10^{17}
上端深さ	km	4.8	4.8
応力降下量	MPa	11.70	11.70
破壊伝播速度	km/s	2.7	2.7
ライズタイム	s	0.40	0.24

震動生成域の諸元を示す。SMGAの地震モーメントの総和は 1.30×10^{18} Nmであり、地震モーメント全体の58%と

なる。

図-9に前述の6地点における観測地震動と経験的グリーン関数法から評価した合成地震動（加速度波形、速度波形、変位波形）の比較（NS成分）を示す。また、図-10に擬似速度応答スペクトル（h=0.05、以下、応答スペクトル）と加速度フーリエスペクトル（以下、フーリエスペクトル）を比較して示す。有効振動数帯は要素地震の長周期側有効周期を考慮して0.1秒～5秒（0.2Hz～10Hz）とした。

震源に最も近いTTRH07では観測地震動に見られるパルス状の波形が再現できている。特に速度波形と変位波形の一一致度は高い。このパルス状の波形はSMGA2を

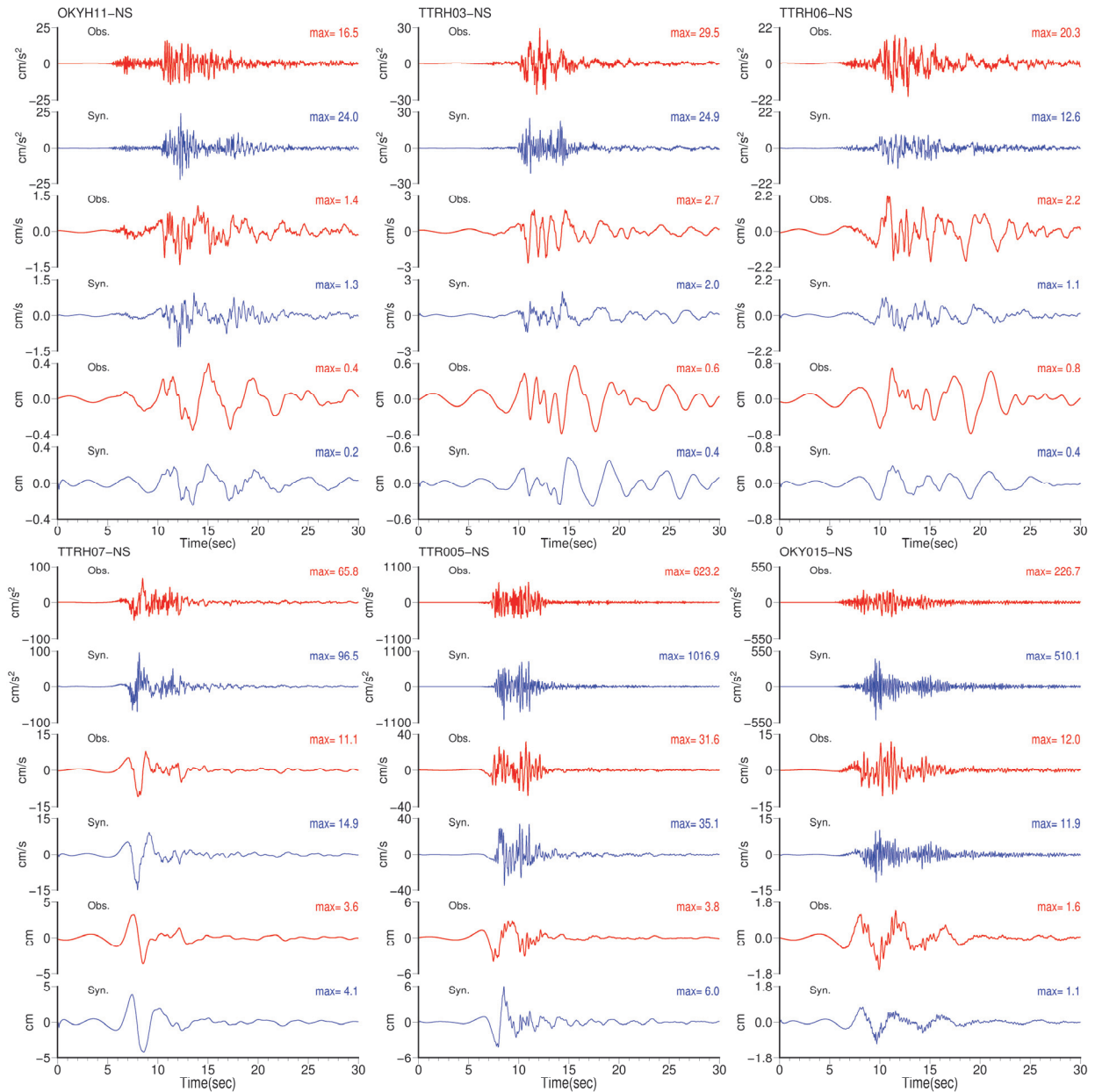


図-9 観測地震動と合成地震動の時刻歴波形の比較（赤線：観測、青線：合成）

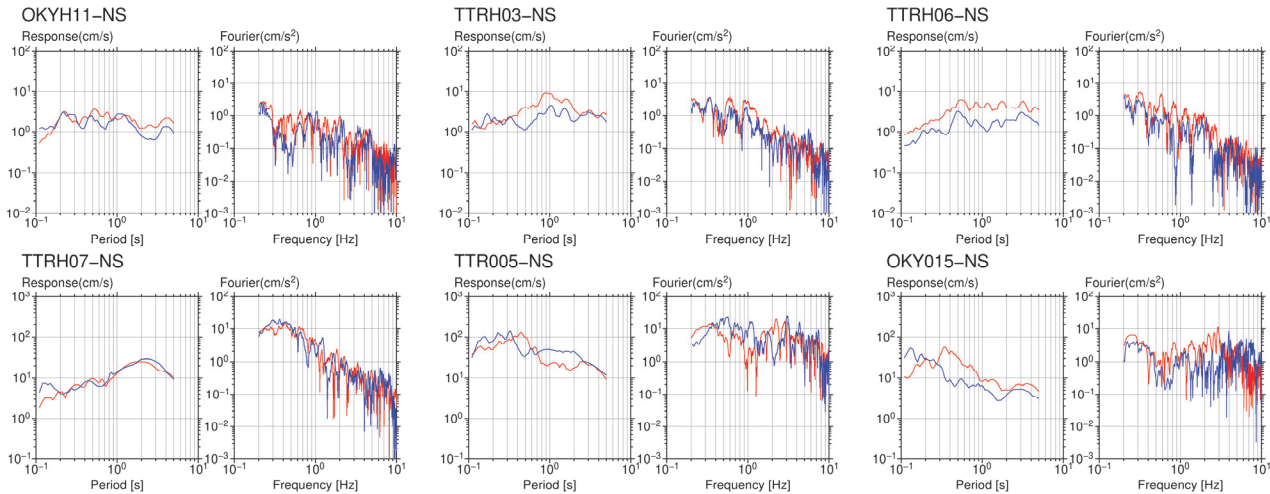


図-10 観測地震動と合成地震動の擬似速度応答スペクトル ($h=0.05$) と加速度フーリエスペクトルとの比較 (赤線: 観測、青線: 合成)

考慮しなくとも再現できるため、震源周辺の大きなすべり領域から生成された地震動によるものと考えられる。TTRH03とTTRH06は震源から西側と東側に約30km離れている観測地点である。破壊開始点から30km以上離れているためTTRH07で見られたようなパルス状の波形は見られないが主要動の継続時間や速度波形に見られる周期1秒程度の波形は再現できている。また、バックワード側の観測地点と考えられるOKYH11では加速度波形の継続時間をほぼ再現できている。

震源近傍のTTRH07の応答スペクトルとフーリエスペクトルの一一致度は高い。一方その他のサイトについては若干小さめの評価となっている。

TTR005、OKY015は前述の理由から合成加速度波形の振幅は観測加速度波形の振幅に対して大きめの評価になっており、合成地震動のスペクトル特性も観測地震動に比べると短周期成分が卓越する。一方、主要動の継続時間は再現できている。震源に最も近いTTR005ではSMGA2を考慮しない場合、合成波形の主要動の継続時間は3秒程度であり、震源ごく近傍の地震動を再現するためにはSMGA2が必要であると考えられる。

図-11に震源モデルの地震モーメントと加速度震源スペクトルの短周期レベル（以後、短周期レベル）の関係を式(3)に示す壇・他のスケーリング則²⁰と比較して示す。図中の細い破線はスケーリング則の0.5倍と2.0倍を示す。短周期レベルは式(4)により算出した。

$$A = 2.46 \times 10^{10} \times (M_0 \times 10^7)^{1/3} \quad (3)$$

$$A = 4\pi r \Delta \sigma_a \beta^2 \quad (4)$$

A は短周期レベル ($\text{N}\cdot\text{m}/\text{s}^2$)、 r はSMGAを円形とした

時の半径 (km)、 $\Delta \sigma_a$ はSMGAの応力降下量 (MPa)、 β は震源域における岩盤のS波速度で、要素地震の震源パラメータの評価および波形合成と同じく3.5km/sとした。図には他の内陸地殻内地震のフォワードモデリングによる結果^{16), 22), 23), 24), 25), 26), 27)}を併せて示す。2016年鳥取県中部の地震の震源モデルの地震モーメントと短周期レベルの関係は既往のスケーリング則で表現できている。

6. まとめ

2016年鳥取県中部の地震 ($M_{JF}6.6$) を対象に震源近傍を含む周辺域で観測された地震動記録を用い、当該地震の震源モデルを経験的グリーン関数法を用いたフォワードモデリングにより評価し、破壊開始点周辺に大きな強震動生成域とその北側に小さい強震動生成域を有する震源モデルを構築した。

震源モデルは、震源近傍の強震動ならびに震源放射特

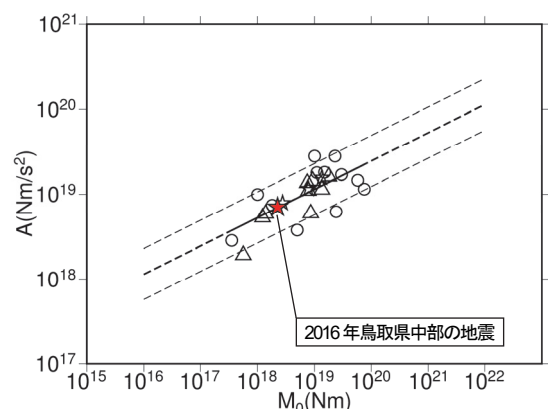


図-11 地震モーメント (M_0) と加速度震源スペクトルの短周期レベル (A) との関係

性とともに破壊の指向性によると考えられる“パルス波”を再現することができた。また、観測地震動は破壊開始点周辺の大きなSMGAから生成された地震動が支配的であることが分かった。

また、震源モデルの地震モーメントと加速度震源スペクトルの短周期レベルの関係は既往のスケーリング則で表現できることができた。

謝辞：本研究では防災科学技術研究所の強震観測網K-NETおよびKiK-netの地震動記録と関連データ、気象庁ならびに鳥取県、岡山県の地震動記録、F-netのメカニズム解、気象庁の震源データを使用させていただきました。作図においては国土地理院の電子地形図・電子国土webを使用させていただきました。本研究は科研費基盤研究(C)15K06204（研究代表者：池田隆明）および平成29年度原子力施設等防災対策等委託費（内陸型地震による地震動評価手法の検討）業務による成果の一部として実施いたしました。最後に記して謝意を表します。

参考文献

- 1) 鳥取県：平成 28 年 10 月 21 日鳥取県中部地震について、第 96 報, <http://www.pref.tottori.lg.jp/261100.htm> (2017.08.21 閲覧)
- 2) 防災科学技術研究所:広帯域地震観測網, F-net, <http://www.fnet.bosai.go.jp> (2017.08.21 閲覧)
- 3) 防災科学技術研究所:高感度地震観測網, Hi-net, <http://www.hinet.bosai.go.jp/> (2017.08.21 閲覧)
- 4) 国土地理院：平成 28 年鳥取県中部の地震に関する情報、だいち 2 号干渉 SAR による変動の検出について, <http://www.gsi.go.jp/BOUSAII/H28-tottori-earthquake-index.html> (2017.08.21 閲覧)
- 5) 京都大学防災研究所鳥取微小地震観測所、鳥取大学教養部地学教室：1983 年 10 月 31 日鳥取県中部の地震 (M6.2) について、地震予知連絡会、会報第 31 卷、6-4, pp.390-398., 1984.
- 6) 地震調査研究推進本部：震源断層を特定した地震の強震動予測手法（「レシピ」）, http://www.jishin.go.jp/evaluation/strong_motion/ (2017.08.21 閲覧)
- 7) 加藤研一、宮腰勝義、武村雅之、井上大榮、上田圭一、壇一男：震源を事前に特定できない内陸地殻内地震による地震動レベル－地質学的調査による地震の分類と強震観測記録に基づく上限レベルの検討－、日本地震工学会論文集, Vol. 4, No. 4, pp.46-86, 2004.
- 8) Irikura, K.: Prediction of strong acceleration motion using empirical Green's function, Proceedings of the 7th Japan Earthquake Engineering Symposium, pp.151-156, 1986.
- 9) 釜江克宏、入倉孝次郎：1995 年兵庫県南部地震の断層モデルと震源近傍における強震動シミュレーション、日本建築学会構造系論文集, No.500, pp.29-36, 1997.
- 10) 防災科学技術研究所:広帯域地震観測網, F-net, <http://www.fnet.bosai.go.jp> (2017.08.23 閲覧)
- 11) 防災科学技術研究所：強震観測網 (K-NET, KiK-net) , <http://www.kyoshin.bosai.go.jp/kyoshin/> (2017.08.23 閲覧) .
- 12) 気象庁：強震波形（鳥取県中部の地震）
http://www.data.jma.go.jp/svd/eqev/data/kyoshin/jishin/1610211407_tottoriken-chubu/index.html (2017.08.23 閲覧) .
- 13) 気象庁：地方公共団体震度計の波形データ,
http://www.data.jma.go.jp/svd/eqev/data/kyoshin/jishin/1610211407_tottoriken-chubu/index2.html (2017.08.23 閲覧)
- 14) 久保久彦、鈴木亘、青井真、関口春子：近地強震記録を用いた 2016 年 10 月 21 日 鳥取県中部で発生した地震の震源インバージョン解析,
http://www.kyoshin.bosai.go.jp/kyoshin/topics/Tottori_20161021/inversion/inv_index.html (2017.08.23 閲覧)
- 15) 小林広明、纒纒一起、三宅弘恵：強震波形インバージョンによる 2016 年鳥取県中部の地震の震源過程（暫定版）,
<http://taro.eri.u-tokyo.ac.jp/saigai/2016tottori/index.html> (2017.08.23 閲覧)
- 16) 池田隆明、釜江克宏、入倉孝次郎：経験的グリーン関数法を用いた震源のモデル化と地盤の非線形性を考えた地震動評価、2005 年福岡県西方沖の地震と 2007 年能登半島地震への適用、日本建築学会構造系論文集, No.665, pp.1253-1261, 2011.
- 17) 三宅弘恵、岩田知孝、入倉孝次郎：経験的グリーン関数法を用いた 1997 年 3 月 26 日 (M_{JMA}6.5) 及び 5 月 13 日 (M_{JMA}6.3) 鹿児島県北西部地震の強震動シミュレーションと震源モデル、地震、第 2 輯, Vol.51, No.4, pp.431-442, 1999.
- 18) Brune, J. N.: Tectonic stress and the spectra of seismic shear waves from earthquakes, Journal of Geophysical Research, Vol.75, pp.4997-5009, 1970.
- 19) Brune, J. N.: Correction, Journal of geophysical research, Vol.76, p.5002, 1971.
- 20) Eshelby, J.D.: The determination of the elastic field of an ellipsoidal inclusion, and related problems, Proceedings of the Royal Society of London. Series A, Mathematical and Physical Sciences, Volume 241, Issue 1226, pp. 376-396, 1957.
- 21) 佐藤智美：Kik-net 強震記録に基づく鳥取県西部地震とその余震のラディエーションパターン及び f_{max} の評価、日本建築学会構造系論文集, No.556, pp.25-34,

- 2002.
- 22) 壇一男, 渡辺基史, 佐藤俊明, 石井透: 断層の非一様すべり破壊モデルから算定される短周期レベルと半経験的波形合成法による強震動予測のための震源断層のモデル化, 日本建築学会構造系論文集, No.545, pp.51-62, 2001.
- 23) 壇一男, 武藤真菜美, 石井やよい, 阿比留哲生: 内陸地震の断層タイプ別にみた各種マグニチュードの関係とそれに基づく断層モデルの設定と強震動の試算, 日本建築学会構造系論文集, Vol.75, No.650, pp.741-750, 2010.
- 24) 池田隆明, 釜江克宏, 三輪滋, 入倉孝次郎: 経験的グリーン関数法を用いた 2000 年鳥取県西部地震の震源のモデル化と強震動シミュレーション, 日本建築学会構造系論文集, No. 561, pp.37-45, 2002.
- 25) Kamae, K., T. Ikeda, and S. Miwa: Source model composed of asperities for the 2004 Mid Niigata Prefecture, Japan, earthquake ($M_{JMA}=6.8$) by the forward modeling using the empirical Green's function method, *Earth Planets Space*, Vol.57, pp.533-538, 2005.
- 26) 釜江克宏, 川辺秀憲: 2007 年新潟県中越沖地震 ($M_{J}6.8$) の震源のモデル化と強震動シミュレーション, <http://www.rri.kyoto-u.ac.jp/jishin/kenkyunaiyou.html> (2017.08.23 閲覧).
- 27) 釜江克宏: 2008 年岩手・宮城内陸地震 ($M_{J}7.2$) の震源のモデル化 (暫定版), <http://www.rri.kyoto-u.ac.jp/jishin/kenkyunaiyou.html> (2017.08.23 閲覧)

(2017. 9. 5 受付)

SOURCE CHARACTERIZATION OF THE 2016 CENTRAL TOTTORI PREFECTURE EARTHQUAKE USING THE EMPIRICAL GREEN'S FUNCTION METHOD

Takaaki IKEDA, Kazuhiro SOMEI, Susumu KURAHASHI, Ken MIYAKOSHI,
Katsuhiro KAMAE, Yuya TAKASE and Yukiko KOJIMA

A magnitude 6.6 of JMA scale earthquake occurred in central Tottori prefecture in Japan on 21 October 2016. The fault plane was estimated a high-angle left lateral fault with the strike of NNW–SSE direction from CMT solution and after-shock distribution. Strong ground motions were generated near source area and caused severe damage to many houses. This earthquake was generated at the area where an active fault has been not confirmed like 2000 Western Tottori prefecture earthquake of $M_{J}7.3$. We constructed a source model by the forward modeling using empirical Green's function method. The source parameters of strong motion generation area were determined from the comparisons of the synthesized broad-band ground motions with the observed ones at several stations including near source. Resultantly, we proposed source model with 2 strong motion generation areas. The relationship between seismic moment and short period level of acceleration source spectrum of this earthquake is expressed in a scaling law of the past study.